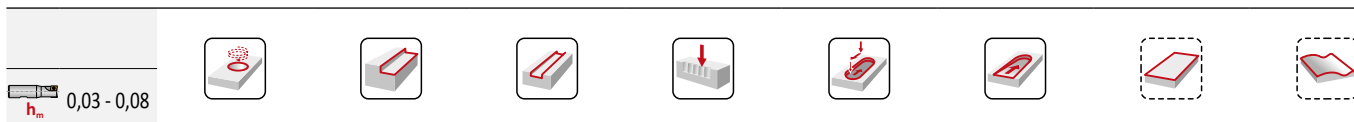
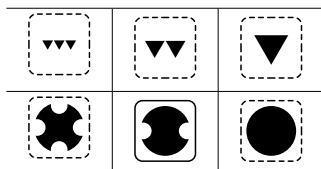
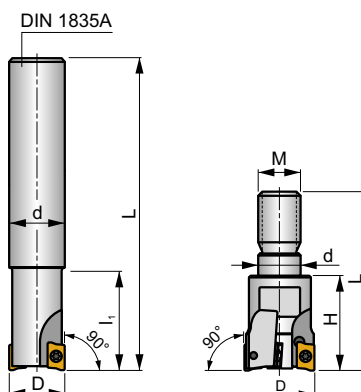
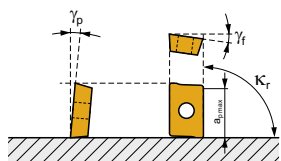


SAD07D



K_r	90°
a_{pmax}	5,0 mm



ISO	D	L	d	l_1	H	M	γ_f°	γ_o°							
10A2R016A08-SAD07D-C	10	100	8	16	-	-	-12	+8	2	-	61600	✓	0,07	G1276	SQ010
10A2R016A10-SAD07D-C	10	80	10	16	-	-	-12	+8	2	-	61600	✓	0,07	G1276	SQ010
10A2R018A08-SAD07D-CF	10	100	8	18	-	-	-12	+8	2	-	61600	✓	0,03	G1276	SQ010
10A2R018A10-SAD07D-CF	10	80	10	18	-	-	-12	+8	2	-	61600	✓	0,04	G1276	SQ010
12A2R018A10-SAD07D-C	12	120	10	18	-	-	-10	+8	2	-	56300	✓	0,09	G1276	SQ010
12A2R018A12-SAD07D-C	12	90	12	18	-	-	-10	+8	2	-	56300	✓	0,10	G1276	SQ010
12A3R018A12-SAD07D-C	12	90	12	18	-	-	-10	+8	3	-	56200	✓	0,10	G1276	SQ010
12A3R020A12-SAD07D-CF	12	90	12	20	-	-	-10	+8	3	-	56200	✓	0,07	G1276	SQ010
14A3R018A12-SAD07D-C	14	140	12	18	-	-	-9	+8	3	-	52100	✓	0,15	G1276	SQ010
14A3R018A14-SAD07D-C	14	90	14	18	-	-	-9	+8	3	-	52100	✓	0,12	G1276	SQ010
14A3R020A12-SAD07D-CF	14	140	12	20	-	-	-9	+8	3	-	52100	✓	0,10	G1276	SQ010
14A3R020A14-SAD07D-CF	14	90	14	20	-	-	-9	+8	3	-	52100	✓	0,09	G1276	SQ010
16A3R019A14-SAD07D-C	16	160	14	19	-	-	-8	+8	3	-	48700	✓	0,21	G1276	SQ011
16A3R019A16-SAD07D-C	16	110	16	19	-	-	-8	+8	3	-	48700	✓	0,18	G1276	SQ011
16A4R019A16-SAD07D-C	16	110	16	19	-	-	-8	+8	4	-	48700	✓	0,18	G1276	SQ011
18A4R019A16-SAD07D-C	18	180	16	19	-	-	-7,5	+8	4	✓	45900	✓	0,29	G1276	SQ011
18A4R019A18-SAD07D-C	18	110	18	19	-	-	-7,5	+8	4	✓	45900	✓	0,22	G1276	SQ011
20A4R020A18-SAD07D-C	20	200	18	20	-	-	-7	+8	4	✓	43600	✓	0,38	G1276	SQ011
20A4R020A20-SAD07D-C	20	125	20	20	-	-	-7	+8	4	✓	43600	✓	0,30	G1276	SQ011
20A5R020A20-SAD07D-C	20	125	20	20	-	-	-7	+8	5	✓	43600	✓	0,30	G1276	SQ011
25A5R024A25-SAD07D-C	25	140	25	24	-	-	-6,5	+8	5	✓	39000	✓	0,52	G1276	SQ011
25A6R024A25-SAD07D-C	25	140	25	24	-	-	-6,5	+8	6	✓	39000	✓	0,52	G1276	SQ011
12A2R020M06-SAD07D-C	12	35	6,5	-	20	M6	-10	+8	2	-	-	✓	0,05	G1276	SQ010
14A3R020M08-SAD07D-C	14	38	8,5	-	20	M8	-9	+8	3	-	-	✓	0,05	G1276	SQ010
14A3R023M08-SAD07D-CF	14	41	8,5	-	23	M8	-9	+8	3	-	-	✓	0,02	G1276	SQ010
16A4R023M08-SAD07D-C	16	41	8,5	-	23	M8	-8	+8	4	✓	-	✓	0,06	G1276	SQ011
20A5R030M10-SAD07D-C	20	49	10,5	-	30	M10	-7	+8	5	✓	-	✓	0,09	G1276	SQ011
25A6R035M12-SAD07D-C	25	57	12,5	-	35	M12	-6,5	+8	6	✓	-	✓	0,13	G1276	SQ011
32A8R043M16-SAD07D-C	32	66	17	-	43	M16	-6	+8	8	✓	-	✓	0,25	G1276	SQ011



GI276

ADMX 0702..



SQ010

US 62003A-T06P

0,6

M 2

3

Flag T06P

SQ011

US 62004A-T06P

0,6

M 2

4

Flag T06P

ADMX 07



d

d₁

l

s

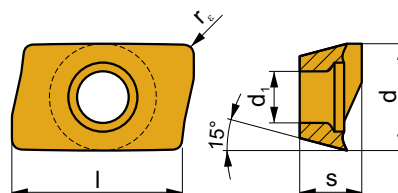
0702

4,482

2,20

6,95

2,48



ISO



P

M

K

N

S

H



r_ε

f_{min}

f_{max}

a_{p min}

a_{p max}

ADMX 070202SR-M

M8330



-

0,2

0,03

0,12

0,1

5,0

M8340



+/-

0,2

0,03

0,12

0,1

5,0

8215



-

0,2

0,03

0,12

0,1

5,0

ADMX 070204SR-M

M8330



-

0,4

0,03

0,12

0,1

5,0

M9340



0,4

0,03

0,10

0,1

5,0

M6330



-

0,4

0,03

0,12

0,1

5,0

M8310



-

0,4

0,03

0,12

0,1

5,0

M8340



+/-

0,4

0,03

0,12

0,1

5,0

8215



-

0,4

0,03

0,12

0,1

5,0

8230



-

0,4

0,03

0,12

0,1

5,0

ADMX 070208SR-M

M9340



0,8

0,03

0,10

0,1

5,0

M6330



-

0,8

0,03

0,12

0,1

5,0

M8330



-

0,8

0,03

0,12

0,1

5,0

M8310



-

0,8

0,03

0,12

0,1

5,0

M8340



+/-

0,8

0,03

0,12

0,1

5,0

8215



-

0,8

0,03

0,12

0,1

5,0

8230



-

0,8

0,03

0,12

0,1

5,0

ADMX 070220SR-M

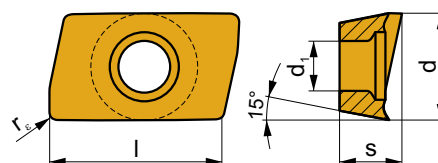
M6330



-

ADEX 07-FA

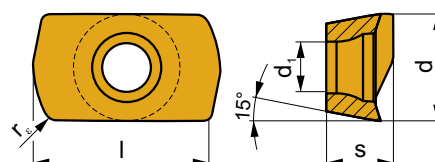
	d	d ₁	l	s
0702	4,497	2,20	6,95	2,48



		ISO		P	M	K	N	S	H			r _e	f _{min}	f _{max}	a _{p min}	a _{p max}
		ADEX 070204FR-FA	M0315				■			●	++	0,4	0,03	0,20	0,1	5,0
			HF7				■			●	+/-	0,4	0,03	0,20	0,1	5,0
		ADEX 070208FR-FA	HF7				■			●	+/-	0,8	0,03	0,20	0,1	5,0

ADEX 07-HF

	d	d ₁	l	s
0702	4,439	2,20	6,45	2,48



		ISO		P	M	K	N	S	H			r _e	f _{min}	f _{max}	a _{p min}	a _{p max}
		ADEX 070206SR-HF	M6330	▣	■			▣		●	-	0,6	0,20	0,90	0,1	0,3
			M8330	■	▣	□		□	□	●	-	0,6	0,20	0,90	0,1	0,3
			M8340	■	■	□		▣		●	+/-	0,6	0,20	0,90	0,1	0,3

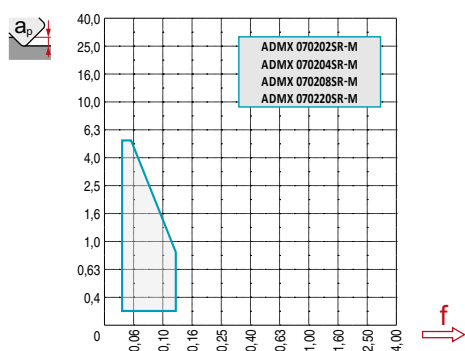
ISO		f_{\min}	f_{\max}	M9340	M6330	M8310	M8330	M8340	8215	8230	HF7	M0315
P	●	0,03	0,12	276	255	292	278	260	276	264	-	-
	●	0,03	0,08	248	225	264	244	225	244	236	-	-
	✘	0,03	0,05	220	200	236	216	195	216	204	-	-
M	●	0,03	0,12	164	165	148	162	155	164	156	-	-
	●	0,03	0,08	148	145	132	144	135	148	140	-	-
	✘	0,03	0,05	132	125	120	126	115	128	124	-	-
K	●	0,03	0,12	-	-	276	264	240	260	252	-	-
	●	0,03	0,08	-	-	252	238	215	232	224	-	-
	✘	0,03	0,05	-	-	224	210	185	204	196	-	-
N	●	0,03	0,20		-		-	-			306	684
	●	0,03	0,16		-		-	-			275	612
	✘	0,03	0,12		-		-	-			239	536
S	●	0,03	0,12	80	84	72		72	80	76		
	●	0,03	0,08	72	72	64		64	72	68		
	✘	0,03	0,05	64	64	60		56	64	60		
H	●	0,03	0,12		80		78	75			-	-
	●	0,03	0,08		70		70	65			-	-
	✘	0,03	0,05		60		62	55			-	-

HFC		f_{\min}	f_{\max}	M8330	M8340	M6330
P	●	0,20	0,90	265	250	235
	●	0,20	0,70	235	220	210
	✘	0,20	0,50	205	190	180
M	●	0,20	0,90	160	150	165
	●	0,20	0,70	140	130	145
	✘	0,20	0,50	125	115	127
K	●	0,20	0,90	250	235	-
	●	0,20	0,70	220	205	-
	✘	0,20	0,50	190	180	-
S	●	0,20	0,70	70	65	73
	●	0,20	0,60	60	55	65
	✘	0,20	0,50	55	50	56
H	●	0,10	0,20	52	-	-
	●	0,10	0,20	42	-	-
	✘	0,10	0,20	40	-	-



$\frac{a_e}{D}$	0,05	0,10	0,15	0,20	0,25	0,30	0,40	0,50	0,60	0,70	0,75	0,80	0,90	1,00
	1,48	1,35	1,27	1,22	1,19	1,16	1,11	1,08	1,05	1,03	1,00	1,00	1,00	1,00
	2,87	2,05	1,69	1,48	1,33	1,23	1,09	0,75	0,94	0,90	0,89	0,88	0,88	1,00
	0,64	0,64	0,64	0,64	0,64	0,65	0,65	0,67	0,68	0,71	0,72	0,74	0,79	1,00

ADMX 07-M				
	0,2	0,4	0,8	2,0
	1,38	0,89	0,54	0,33



max.
3,9



	1,0	3,0	5,0
	0,13	0,08	0,05



D	α_{max}°	a_p/l
10	5,2	5,0/56
12	3,4	5,0/86
14	2,5	4,2/100
16	1,9	3,2/100
18	1,7	2,8/100
20	1,5	2,5/100
25	1,1	1,8/100
32	0,8	1,2/100



D	d_{min}	d_{max}	$d_{min}^{S_{max}}$	$d_{max}^{S_{max}}$
10	12,0	20,0	0,5	2,8
12	16,0	24,0	0,7	2,2
14	20,0	28,0	0,8	1,9
16	24,0	32,0	0,8	1,6
18	28,0	36,0	0,9	1,6
20	32,0	40,0	0,9	1,6
25	42,0	50,0	1,0	1,5
32	56,0	64,0	1,0	1,4



a_p/l
0,9



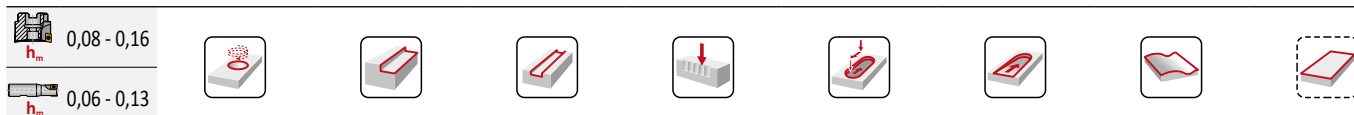
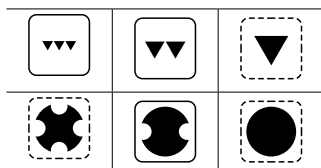
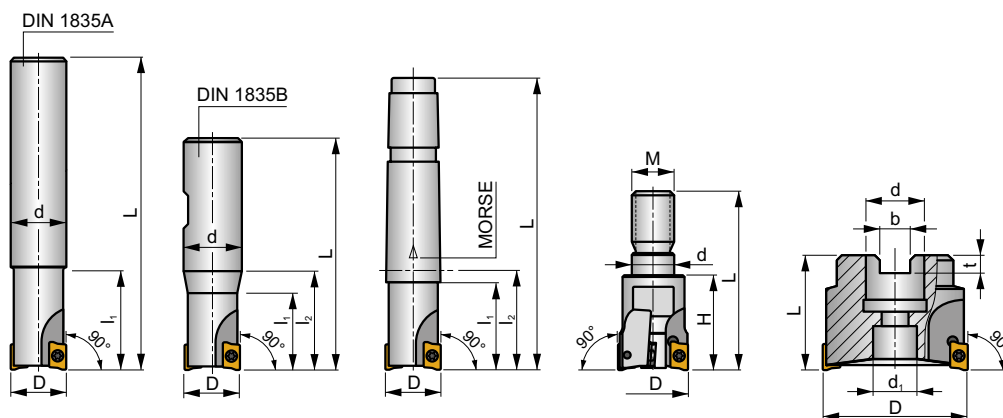
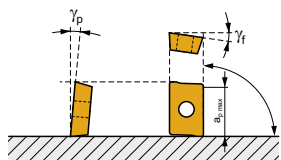
D	μm	3	5	10	15	20	30	40	50	60	80	100
10		0,346	0,447	0,632	0,775	0,894	1,095	1,265	1,414	1,549	1,789	2,000
12		0,379	0,490	0,693	0,849	0,980	1,200	1,386	1,549	1,697	1,960	2,191
14		0,410	0,529	0,748	0,917	1,058	1,296	1,497	1,673	1,833	2,117	2,366
16		0,438	0,566	0,800	0,980	1,131	1,386	1,600	1,789	1,960	2,263	2,530
18		0,465	0,600	0,849	1,039	1,200	1,470	1,697	1,897	2,078	2,400	2,683
20		0,490	0,632	0,894	1,095	1,265	1,549	1,789	2,000	2,191	2,530	2,828
25		0,548	0,707	1,000	1,225	1,414	1,732	2,000	2,236	2,449	2,828	3,162
32		0,620	0,800	1,131	1,386	1,600	1,960	2,263	2,530	2,771	3,200	3,578

SAD11E

P M K N S H



κ_r	90°
a_{pmax}	9,0 mm



ISO	D	L	d	d ₁	l ₁	l ₂	H	M	γ_f°	γ_p°	Morse			max.		kg			
16A2R024A14-SAD11E-C	16	160	14	-	24	-	-	-	-12,8	+4	-	2	-	30100	✓	0,21	GI169	SQ025	-
16A2R024A16-SAD11E-C	16	135	16	-	24	-	-	-	-12,8	+4	-	2	-	30100	✓	0,09	GI169	SQ025	-
16A2R050A16-SAD11E-C	16	135	16	-	50	-	-	-	-12,8	+4	-	2	-	30100	✓	0,21	GI169	SQ025	-
18A2R029A20-SAD11E-C	18	150	20	-	29	-	-	-	-12	+4,5	-	2	-	28400	✓	0,35	GI169	SQ025	-
20A2R029A20-SAD11E-C	20	150	20	-	29	-	-	-	-11,5	+5	-	2	-	27000	✓	0,13	GI169	SQ020	-
20A2R070A20-SAD11E-C	20	150	20	-	70	-	-	-	-11,5	+5	-	2	-	27000	✓	0,32	GI169	SQ020	-
20A3R029A18-SAD11E-C	20	200	18	-	29	-	-	-	-11,5	+5	-	3	-	27000	✓	0,38	GI169	SQ025	-
20A3R029A20-SAD11E-C	20	150	20	-	29	-	-	-	-11,5	+5	-	3	-	27000	✓	0,13	GI169	SQ025	-
22A3R029A20-SAD11E-C	22	200	20	-	29	-	-	-	-11,5	+5	-	3	-	25600	✓	0,49	GI169	SQ025	-
25A3R034A25-SAD11E-C	25	170	25	-	34	-	-	-	-10,2	+5	-	3	-	24100	✓	0,42	GI169	SQ020	-
25A3R080A25-SAD11E-C	25	170	25	-	80	-	-	-	-10,2	+5	-	3	-	24100	✓	0,55	GI169	SQ020	-
25A4R034A25-SAD11E-C	25	170	25	-	34	-	-	-	-10,2	+5	-	4	-	24100	✓	0,42	GI169	SQ025	-
25A4R040A25-SAD11E-C	25	250	25	-	40	-	-	-	-10,2	+5	-	4	-	24100	✓	0,86	GI169	SQ025	-
30A3R080A32-SAD11E-C	30	200	32	-	80	-	-	-	-9,3	+7	-	3	-	22000	✓	1,02	GI169	SQ020	-
32A3R090A32-SAD11E-C	32	195	32	-	90	-	-	-	-9	+5	-	3	-	21300	✓	1,01	GI169	SQ020	-
32A5R034A32-SAD11E-C	32	195	32	-	34	-	-	-	-9	+8	-	5	-	21300	✓	1,03	GI169	SQ025	-
35A5R025A32-SAD11E-C	35	200	32	-	25	-	-	-	-9	+8	-	5	-	20300	✓	1,16	GI169	SQ020	-
16A2R027B16-SAD11E-C	16	75	16	-	27	-	-	-	-12,8	+4	-	2	-	30100	✓	0,09	GI169	SQ025	-
20A2R032B20-SAD11E-C	20	82	20	-	32	-	-	-	-11,5	+5	-	2	-	27000	✓	0,13	GI169	SQ020	-
20A3R032B20-SAD11E-C	20	82	20	-	32	-	-	-	-11,5	+5	-	3	-	27000	✓	0,13	GI169	SQ025	-
25A3R042B25-SAD11E-C	25	98	25	-	42	-	-	-	-10,2	+5	-	3	-	24100	✓	0,50	GI169	SQ020	-
25A4R042B25-SAD11E-C	25	98	25	-	42	-	-	-	-10,2	+5	-	4	-	24100	✓	0,31	GI169	SQ025	-
32A4R042B32-SAD11E-C	32	102	32	-	42	-	-	-	-9	+8	-	4	-	21300	✓	0,27	GI169	SQ020	-
32A5R042B32-SAD11E-C	32	102	32	-	42	-	-	-	-9	+8	-	5	-	21300	✓	0,52	GI169	SQ025	-
20A3R035E03-SAD11E-C	20	116	-	-	30	35	-	-	-11,5	+5	3	3	-	27000	✓	0,28	GI169	SQ025	-
25A4R043E03-SAD11E-C	25	124	-	-	38	43	-	-	-10,2	+5	3	4	-	24100	✓	0,32	GI169	SQ025	-
16A2R024M08-SAD11E-C	16	38	8,5	-	-	-	24	M8	-12,8	+4	-	2	-	-	✓	0,10	GI169	SQ025	-
20A2R026M10-SAD11E-C	20	45	11	-	-	-	26	M10	-11,5	+5	-	2	-	-	✓	0,09	GI169	SQ020	-
20A3R026M10-SAD11E-C	20	45	10,5	-	-	-	26	M10	-11,5	+5	-	3	-	-	✓	0,11	GI169	SQ025	-
25A3R033M12-SAD11E-C	25	55	12,5	-	-	-	33	M12	-10,2	+5	-	3	-	-	✓	0,15	GI169	SQ020	-
25A4R033M12-SAD11E-C	25	55	12,5	-	-	-	33	M12	-10,2	+5	-	4	-	-	✓	0,09	GI169	SQ025	-

ISO	D	L	d	d ₁	l ₁	l ₂	H	M	γ _f °	γ _p °	Morse								
32A4R043M16-SAD11E-C	32	66	17	-	-	-	43	M16	-9	+8	-	4	-	-	✓	0,26	GI169	SQ020	-
32A5R043M16-SAD11E-C	32	66	17	-	-	-	43	M16	-9	+8	-	5	-	-	✓	0,21	GI169	SQ025	-
40A4R043M16-SAD11E-C	40	66	17	-	-	-	43	M16	-8,1	+11	-	4	-	-	✓	0,31	GI169	SQ020	-
40A6R043M16-SAD11E-C	40	66	17	-	-	-	43	M16	-8,1	+11	-	6	-	-	✓	0,21	GI169	SQ020	-
40A04R-S90AD11E-C	40	40	16	14	-	-	-	-	-8,1	+11	-	4	✓	19100	✓	0,16	GI169	SQ022	-
40A05R-S90AD11E-C	40	40	16	14	-	-	-	-	-8,1	+11	-	5	✓	19000	✓	0,32	GI169	SQ022	-
40A06R-S90AD11E-C	40	40	16	14	-	-	-	-	-8,1	+11	-	6	✓	19100	✓	0,16	GI169	SQ022	-
50A05R-S90AD11E-C	50	40	22	18	-	-	-	-	-7,2	+12	-	5	✓	17000	✓	0,31	GI169	SQ023	-
50A07R-S90AD11E-C	50	40	22	18	-	-	-	-	-7,2	+12	-	7	✓	17000	✓	0,45	GI169	SQ023	-
63A06R-S90AD11E-C	63	40	22	18	-	-	-	-	-6,5	+12	-	6	✓	15200	✓	0,54	GI169	SQ023	-
63A09R-S90AD11E-C	63	40	22	18	-	-	-	-	-6,5	+12	-	9	✓	15200	✓	0,63	GI169	SQ023	-
80A10R-S90AD11E-C	80	50	27	38	-	-	-	-	-6	+12	-	10	✓	13500	✓	1,06	GI169	SQ021	AC001

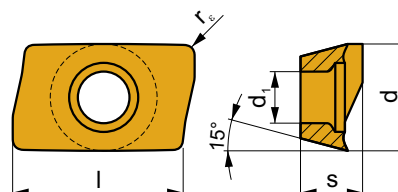
GI169	ADMX 11T3..	ADEX 11T3..

SQ020	US 62506-T07P	1,2	M 2,5	6	-	-	Flag T07P	-
SQ021	US 62506-T07P	1,2	M 2,5	6	D-T07P/T09P	FG-15	-	-
SQ022	US 62506-T07P	1,2	M 2,5	6	D-T07P/T09P	FG-15	-	HS 0830C
SQ023	US 62506-T07P	1,2	M 2,5	6	D-T07P/T09P	FG-15	-	HS 1030C
SQ025	US 62505-T07P	1,2	M 2,5	5	-	-	Flag T07P	-

AC001	KS 1230	K.FMH27
AC002	KS 1635	K.FMH32
AC003	KS 2040	K.FMH40

ADMX 11

	d	d ₁	l	s
11T3	6,530	2,90	11,00	3,97

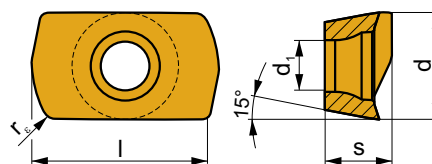


i	ISO	Image	P	M	K	N	S	H	Image	Image	r _c	f _{min}	f _{max}	a _{p min}	a _{p max}
 	ADMX 11T304SR-F	M9340	█	█			█		●	---	0,4	0,07	0,10	0,2	9,0
		M8310	█	█	█		█		●	-	0,4	0,07	0,12	0,2	9,0
		M8330	█	█	█	□	□		●	-	0,4	0,07	0,12	0,2	9,0
		M8340	█	█	█		█		●	+/-	0,4	0,07	0,12	0,2	9,0
		8215	█	█	█	█	█		●	-	0,4	0,07	0,12	0,2	9,0
		8230	█	█	█	□	█		●	-	0,4	0,07	0,12	0,2	9,0
		M9340	█	█			█		●	---	0,8	0,07	0,10	0,2	9,0
		M8330	█	█	█	□	□		●	-	0,8	0,07	0,12	0,2	9,0
		M8340	█	█	█		█		●	+/-	0,8	0,07	0,12	0,2	9,0
		8215	█	█	█	█	█		●	-	0,8	0,07	0,12	0,2	9,0
 	ADMX 11T308SR-F	8230	█	█	█	□	█		●	-	0,8	0,07	0,12	0,2	9,0
		M9340	█	█			█		●	---	0,8	0,07	0,10	0,2	9,0
		M8330	█	█	█	□	□		●	-	0,8	0,07	0,12	0,2	9,0
		M8340	█	█	█		█		●	+/-	0,8	0,07	0,12	0,2	9,0
		8215	█	█	█	█	█		●	-	0,8	0,07	0,12	0,2	9,0
		8230	█	█	█	□	█		●	-	0,8	0,07	0,12	0,2	9,0
		M9340	█	█			█		●	---	0,8	0,07	0,10	0,2	9,0
		M8330	█	█	█	□	□		●	-	0,8	0,07	0,12	0,2	9,0
		M8340	█	█	█		█		●	+/-	0,8	0,07	0,12	0,2	9,0
		8215	█	█	█	█	█		●	-	0,8	0,07	0,12	0,2	9,0
	ADMX 11T302SR-M	M8330	█	█	█		□		●	-	0,2	0,10	0,14	0,2	9,0
		M8340	█	█	█		█		●	+/-	0,2	0,10	0,14	0,2	9,0
	ADMX 11T304SR-M	M9325	█	█			█		●	---	0,4	0,10	0,14	0,2	9,0
		M9340	█	█			█		●	---	0,4	0,10	0,14	0,2	9,0
		M8310	█	█	█		█		●	-	0,4	0,10	0,18	0,2	9,0
		M8330	█	█	█		□		●	-	0,4	0,10	0,18	0,2	9,0
		M8340	█	█	█		█		●	+/-	0,4	0,10	0,18	0,2	9,0
		8215	█	█	█		█		●	-	0,4	0,10	0,18	0,2	9,0
	ADMX 11T308SR-M	8230	█	█	█		█		●	-	0,4	0,10	0,18	0,2	9,0
		8240	█	█	█		█		●	-	0,4	0,10	0,18	0,2	9,0
M5315		█	█	█				●	---	0,8	0,10	0,14	0,2	9,0	
M9315		█	█	█				●	---	0,8	0,10	0,14	0,2	9,0	
M9325		█	█			█		●	---	0,8	0,10	0,14	0,2	9,0	
M9340		█	█			█		●	---	0,8	0,10	0,14	0,2	9,0	
M8310		█	█	█		█		●	-	0,8	0,10	0,18	0,2	9,0	
M8330		█	█	█		□		●	-	0,8	0,10	0,18	0,2	9,0	
ADMX 11T310SR-M	M8340	█	█	█		█		●	+/-	0,8	0,10	0,18	0,2	9,0	
	8215	█	█	█		█		●	-	0,8	0,10	0,18	0,2	9,0	
ADMX 11T312SR-M	8230	█	█	█		█		●	-	0,8	0,10	0,18	0,2	9,0	
	M8330	█	█	█		□		●	-	1,0	0,10	0,22	0,2	9,0	
ADMX 11T316SR-M	M8340	█	█	█		█		●	+/-	1,0	0,10	0,22	0,2	9,0	
	8215	█	█	█		█		●	-	1,2	0,10	0,22	0,2	9,0	
ADMX 11T310SR-M	M8330	█	█	█		□		●	-	1,2	0,10	0,22	0,2	9,0	
	M8340	█	█	█		█		●	+/-	1,2	0,10	0,22	0,2	9,0	
	8215	█	█	█		█		●	-	1,2	0,10	0,22	0,2	9,0	
	M6330	█	█			█		●	-	1,6	0,10	0,22	0,2	9,0	
	M8310	█	█	█		█		●	-	1,6	0,10	0,22	0,2	9,0	
	M8330	█	█	█		□		●	-	1,6	0,10	0,22	0,2	9,0	
ADMX 11T312SR-M	M8340	█	█	█		█		●	+/-	1,6	0,10	0,22	0,2	9,0	
	8215	█	█	█		█		●	-	1,6	0,10	0,22	0,2	9,0	
	8230	█	█	█		█		●	-	1,6	0,10	0,22	0,2	9,0	
	M8330	█	█	█		□		●	-	1,6	0,10	0,22	0,2	9,0	

		ISO		P	M	K	N	S	H			r_ϵ	f_{min}	f_{max}	$a_{p\ min}$	$a_{p\ max}$
 	 	ADMX 11T320SR-M	M6330	▣	■			▣		✘	-	2,0	0,10	0,22	0,2	9,0
			M8330	■	▣	■		□		✘	-	2,0	0,10	0,22	0,2	9,0
			M8340	■	■	▣		▣		✘	+/-	2,0	0,10	0,22	0,2	9,0
		ADMX 11T325SR-M	M6330	▣	■			▣		✘	-	2,5	0,10	0,22	0,2	9,0
			M8330	■	▣	■		□		✘	-	2,5	0,10	0,22	0,2	9,0
			M8340	■	■	▣		▣		✘	+/-	2,5	0,10	0,22	0,2	9,0
		ADMX 11T330SR-M	M6330	▣	■			▣		✘	-	3,0	0,10	0,22	0,2	9,0
			M8330	■	▣	■		□		✘	-	3,0	0,10	0,22	0,2	9,0
			M8340	■	■	▣		▣		✘	+/-	3,0	0,10	0,22	0,2	9,0
 	 	ADMX 11T308PR-R	M5315	▣	■			▣		☉	---	0,8	0,15	0,20	0,8	9,0
			M9315	■	▣	▣		▣		☉	---	0,8	0,15	0,20	0,8	9,0
			M9325	■	▣			▣		✘	---	0,8	0,15	0,20	0,8	9,0
		ADMX 11T316PR-R	M8310	■	▣	■		▣	▣	✘	-	0,8	0,15	0,25	0,8	9,0
			M8330	■	▣	■		□	▣	✘	-	0,8	0,15	0,25	0,8	9,0
			M8340	■	▣	▣		▣		✘	+/-	0,8	0,15	0,25	0,8	9,0
		ADMX 11T312SR-MM	M9340	▣	■			▣	▣	✘	-	0,8	0,05	0,12	0,2	9,0
			M6330	▣	■			■		☉	-	0,4	0,05	0,14	0,2	9,0
			M8340	■	■			■		☉	+/-	0,4	0,05	0,14	0,2	9,0
 	 	ADMX 11T304SR-MF	M9340	▣	■			■		☉	---	0,4	0,05	0,12	0,2	9,0
			M6330	▣	■			■		☉	-	0,4	0,05	0,14	0,2	9,0
			M8340	■	■			■		☉	+/-	0,4	0,05	0,14	0,2	9,0
		ADMX 11T308SR-MF	M9340	▣	■			■		☉	---	0,8	0,05	0,12	0,2	9,0
			M6330	▣	■			■		☉	-	0,8	0,05	0,14	0,2	9,0
			M8340	■	■			■		☉	+/-	0,8	0,05	0,14	0,2	9,0
		ADMX 11T304SR-MM	M9340	▣	■			■		☉	---	0,4	0,10	0,15	0,2	9,0
			M6330	▣	■			■		☉	-	0,4	0,10	0,18	0,2	9,0
			M8340	■	■			■		☉	+/-	0,4	0,10	0,18	0,2	9,0
ADMX 11T308SR-MM	M9340	▣	■			■		☉	---	0,8	0,10	0,15	0,2	9,0		
	M6330	▣	■			■		☉	-	0,8	0,10	0,18	0,2	9,0		
	M8340	■	■			■		☉	+/-	0,8	0,10	0,18	0,2	9,0		
ADMX 11T312SR-MM	M8345	■	■			■		☉	+/-	0,8	0,10	0,18	0,2	9,0		
	M9340	▣	■			■		☉	---	1,2	0,10	0,15	0,2	9,0		
	M6330	▣	■			■		✘	-	1,2	0,10	0,18	0,2	9,0		
ADMX 11T312SR-MM	M8340	■	■			■		✘	+/-	1,2	0,10	0,18	0,2	9,0		
	M8345	■	■			■		✘	+/-	1,2	0,10	0,18	0,2	9,0		

ADEX 11-HF

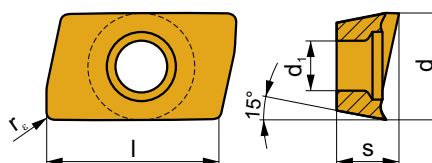
	d	d ₁	l	s
11T3	6,450	2,90	10,67	3,82



i	ISO	Material	ISO					Chip	Coolant	r _c	f _{min}	f _{max}	a _{p min}	a _{p max}	
			P	M	K	N	S								H
	ADEX 11T308SR-HF	M9340	█	█			█	●	---	0,8	0,40	1,11	0,1	0,6	
		M6330	█	█			█	●	-	0,8	0,40	1,30	0,1	0,6	
		M8310	█	█	□		█	□	●	-	0,8	0,40	1,30	0,1	0,6
		M8330	█	█	□		□	□	●	-	0,8	0,40	1,30	0,1	0,6
		M8340	█	█	□		█		●	+/-	0,8	0,40	1,30	0,1	0,6
		8215	█	█	□		□	□	●	-	0,8	0,40	1,30	0,1	0,6
		8230	█	█	□		█	□	●	-	0,8	0,40	1,30	0,1	0,6
	ADEX 11T308SR-HF2	M8330	█	█	█		□	█	●	-	0,8	0,40	1,30	0,2	0,6
		M9325	█	█			□	●	---	0,8	0,40	1,17	0,2	0,6	
		M9340	█	█			□	●	---	0,8	0,40	1,17	0,2	0,6	
		M8310	█	█	█		□	█	●	-	0,8	0,40	1,30	0,2	0,6
		M8340	█	█	█		□		●	+/-	0,8	0,40	1,30	0,2	0,6
		8230	█	█	█		□	█	●	-	0,8	0,40	1,30	0,2	0,6

ADEX 11-FA

	d	d ₁	l	s
11T3	6,450	2,90	9,70	3,91



i	ISO	Material	ISO					Chip	Coolant	r _c	f _{min}	f _{max}	a _{p min}	a _{p max}
			P	M	K	N	S							
	ADEX 11T304FR-FA	M0315				█		●	++	0,4	0,03	0,30	0,4	9,0
		HF7				█		●	+/-	0,4	0,03	0,30	0,2	9,0
	ADEX 11T308FR-FA	M0315				█		●	++	0,8	0,03	0,30	0,2	9,0
		HF7				█		●	+/-	0,8	0,03	0,30	0,2	9,0
	ADEX 11T312FR-FA	M0315				█		●	++	1,2	0,03	0,30	0,2	9,0
		HF7				█		●	+/-	1,2	0,03	0,30	0,2	9,0
ADEX 11T316FR-FA	HF7				█		●	+/-	1,6	0,03	0,30	0,2	9,0	

ISO		f_{min}	f_{max}	M5315	M9315	M9325	M9340	M0315	M6330	M8310	M8340	M8345	8215	8230	8240	HF7
P	●	0,07	0,18	392	392	347	311	-	266	329	284	225	311	297	252	-
	●	0,07	0,15	365	356	306	279	-	239	297	252	198	275	266	230	-
	✘	0,07	0,10	333	324	270	248	-	207	266	221	176	243	230	203	-
M	●	0,07	0,18	-	-	176	185	-	189	167	167	135	185	176	153	72
	●	0,07	0,15	-	-	158	167	-	167	149	149	117	167	158	135	63
	✘	0,07	0,10	-	-	135	149	-	144	135	131	104	144	140	122	54
K	●	0,07	0,18	374	374	-	-	-	-	311	270	-	293	284	243	117
	●	0,07	0,15	347	338	-	-	-	-	284	239	-	261	252	216	104
	✘	0,07	0,10	320	306	-	-	-	-	252	207	-	230	221	194	90
N	●	0,07	0,18	-	-	-	-	684	-	-	-	-	774	747	-	306
	●	0,07	0,15	-	-	-	-	612	-	-	-	-	693	666	-	275
	✘	0,07	0,10	-	-	-	-	536	-	-	-	-	612	581	-	239
S	●	0,07	0,18	-	-	86	90	-	95	81	81	68	90	86	77	36
	●	0,07	0,15	-	-	77	81	-	81	72	72	59	81	77	68	32
	✘	0,07	0,10	-	-	68	72	-	72	68	63	50	72	68	59	27
H	●	0,07	0,18	77	77	-	-	-	-	63	-	-	59	59	-	23
	●	0,07	0,15	72	68	-	-	-	-	59	-	-	54	50	-	18
	✘	0,07	0,10	63	63	-	-	-	-	50	-	-	45	45	-	18

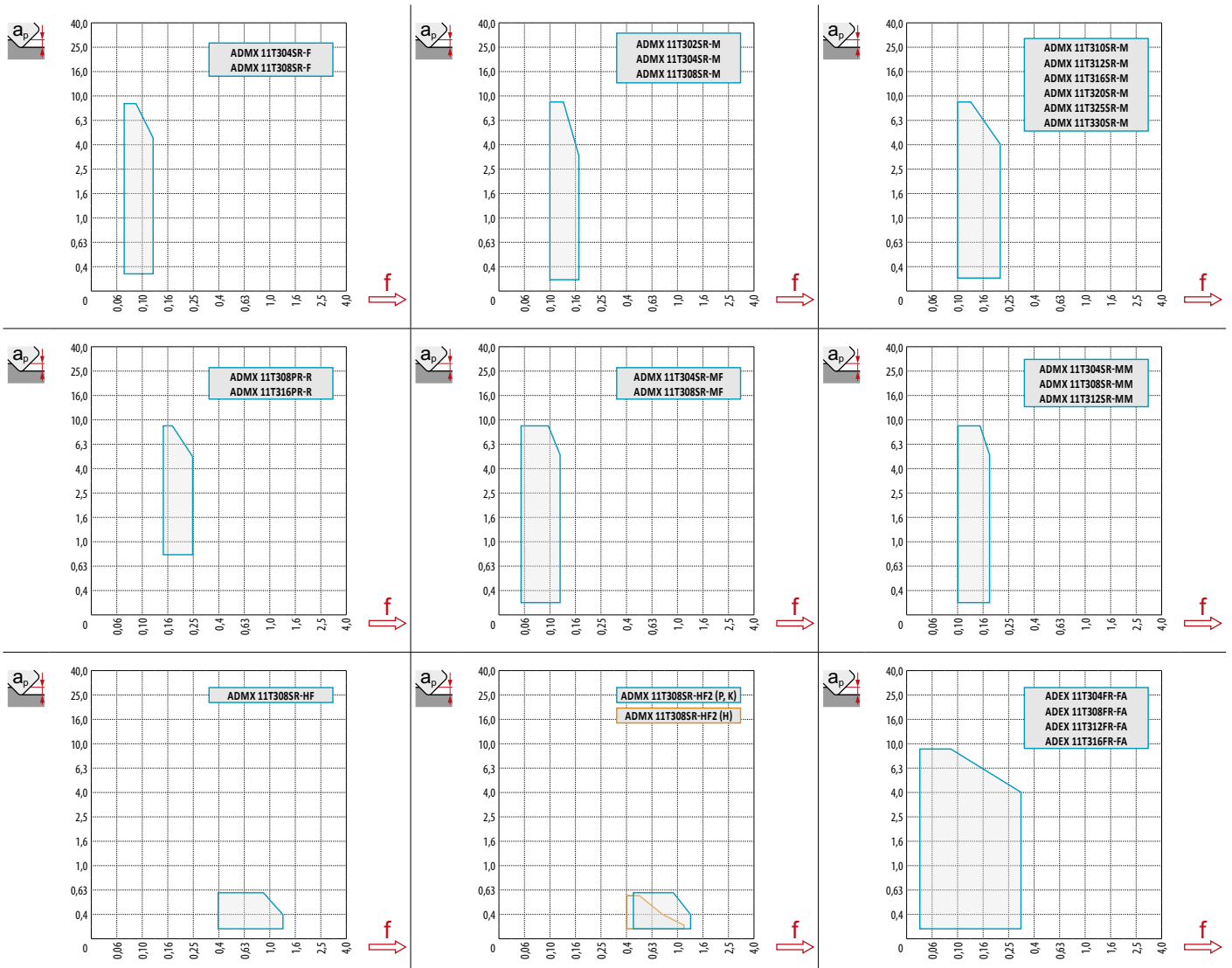
HFC		f_{min}	f_{max}	M9325	M9340	M8310	M8340	8215	8230
P	●	0,45	1,25	308	276	292	252	276	264
	●	0,45	1,00	272	248	264	224	244	236
	✘	0,45	0,80	240	220	236	196	216	204
M	●	0,45	1,25	156	164	148	148	164	156
	●	0,45	1,00	140	148	132	132	148	140
	✘	0,45	0,80	120	132	120	116	128	124
K	●	0,45	1,25	-	-	276	240	260	252
	●	0,45	1,00	-	-	252	212	232	224
	✘	0,45	0,80	-	-	224	184	204	196
N	●	0,45	1,25	-	-	-	-	688	664
	●	0,45	1,00	-	-	-	-	616	592
	✘	0,45	0,80	-	-	-	-	544	516
S	●	0,45	1,20	76	80	72	72	80	76
	●	0,45	1,00	68	72	64	64	72	68
	✘	0,45	0,80	60	64	60	56	64	60
H	●	0,40	1,00	-	-	56	-	52	52
	●	0,40	0,80	-	-	52	-	48	44
	✘	0,40	0,60	-	-	44	-	40	40



$\frac{a_e}{D}$	0,05	0,10	0,15	0,20	0,25	0,30	0,40	0,50	0,60	0,70	0,75	0,80	0,90	1,00
	1,48	1,35	1,27	1,22	1,19	1,16	1,11	1,08	1,05	1,03	1,00	1,00	1,00	1,00
	2,87	2,05	1,69	1,48	1,33	1,23	1,09	0,75	0,94	0,90	0,89	0,88	0,88	1,00
	0,64	0,64	0,64	0,64	0,64	0,65	0,65	0,67	0,68	0,71	0,72	0,74	0,79	1,00

	ADMX 11-F		ADMX 11-M										ADMX 11-R		ADMX 11-MF	
r_ϵ	0,4	0,8	0,2	0,4	0,8	1,0	1,2	1,6	2,0	2,5	3,0	0,8	1,6	0,4	0,8	
$\frac{a}{f}$	1,89	1,48	2,09	1,89	1,48	1,27	1,08	0,68	1,61	1,13	0,66	1,48	0,68	1,89	1,48	

	ADMX 11-MM				ADEX 11-HF	ADEX 11-HF2	ADEX 11-FA			
r_ϵ	0,4	0,8	1,2	1,6	0,8	0,8	0,4	0,8	1,2	1,6
$\frac{a}{f}$	1,89	1,48	1,08	0,61	0,17	0,17	1,77	1,39	1,0	0,62





4,5



	1,0	5,0	9,0
	0,20	0,13	0,10



			HFC		
	α_{\max}°	a_p/l		α_{\max}°	a_p/l
16	13,5	9,0/40	4,1	5,7	0,6/8
18	10,0	9,0/53	2,8	4,5	0,6/12
20	9,0	9,0/59	2,3	4,3	0,6/15
25	6,0	9,0/87	1,3	6,7	0,6/26
32	5,3	9,0/99	0,7	4,3	0,6/49
40	3,8	6,5/100	0,3	2,9	0,6/100
50	2,8	4,7/100	0,1	2,1	0,6/100
63	1,8	3,0/100	-	-	-
80	1,6	2,6/100	-	-	-



					HFC			
	d_{\min}	d_{\max}			d_{\min}	d_{\max}		
16	27,0	32,0	8,3	9,0	21,0	32,0	0,6	0,6
18	32,0	36,0	7,5	9,0	29,0	36,0	0,6	0,6
20	35,0	40,0	7,5	9,0	29,0	40,0	0,6	0,6
25	45,0	50,0	6,5	7,5	39,0	50,0	0,6	0,6
32	59,0	64,0	4,0	4,5	53,0	64,0	0,6	0,6
40	75,0	80,0	1,5	2,0	68,5	80,0	0,6	0,6
50	-	-	-	-	88,5	100,0	0,6	0,6



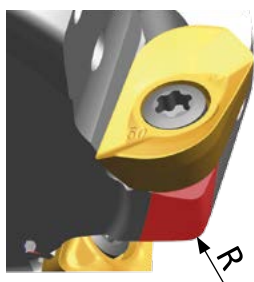
1,7



\varnothing	μm	3	5	10	15	20	30	40	50	60	80	100
16		0,438	0,566	0,800	0,980	1,131	1,386	1,600	1,789	1,960	2,263	2,530
18		0,465	0,600	0,849	1,039	1,200	1,470	1,697	1,897	2,078	2,400	2,683
20		0,490	0,632	0,894	1,095	1,265	1,549	1,789	2,000	2,191	2,530	2,828
20		0,490	0,632	0,894	1,095	1,265	1,549	1,789	2,000	2,191	2,530	2,828
25		0,548	0,707	1,000	1,225	1,414	1,732	2,000	2,236	2,449	2,828	3,162
32		0,620	0,800	1,131	1,386	1,600	1,960	2,263	2,530	2,771	3,200	3,578
40		0,693	0,894	1,265	1,549	1,789	2,191	2,530	2,828	3,098	3,578	4,000
50		0,775	1,000	1,414	1,732	2,000	2,449	2,828	3,162	3,464	4,000	4,472
63		0,869	1,122	1,587	1,944	2,245	2,750	3,175	3,550	3,888	4,490	5,020
80		0,980	1,265	1,789	2,191	2,530	3,098	3,578	4,000	4,382	5,060	5,657

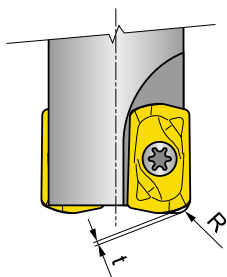
r_ϵ	μm	3	5	10	15	20	30	40	50	60	80	100
1,0		0,155	0,200	0,283	0,346	0,400	0,490	0,566	0,632	0,693	0,800	0,894
1,2		0,170	0,219	0,310	0,379	0,438	0,537	0,620	0,693	0,759	0,876	0,980
1,6		0,196	0,253	0,358	0,438	0,506	0,620	0,716	0,800	0,876	1,012	1,131
2,0		0,219	0,283	0,400	0,490	0,566	0,693	0,800	0,894	0,980	1,131	1,265
2,5		0,245	0,316	0,447	0,548	0,632	0,775	0,894	1,000	1,095	1,265	1,414
3,0		0,268	0,346	0,490	0,600	0,693	0,849	0,980	1,095	1,200	1,386	1,549

i



ADMX/ADEX 11	R
ADMX 11T320SR-M	1,0
ADMX 11T325SR-M	1,8
ADMX 11T330SR-M	1,8
ADEX 11T308SR-HF	1,4
ADEX 11T308SR-HF2	1,4

i



ADEX 11	R	t
	[mm]	[mm]
ADEX 11T308SR-HF	1,42	0,35
ADEX 11T308SR-HF2	1,34	0,38

J(T)-SAD11E

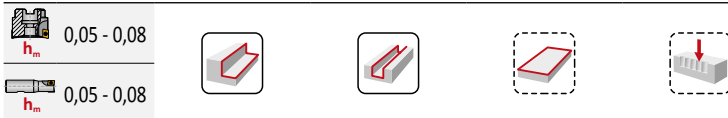
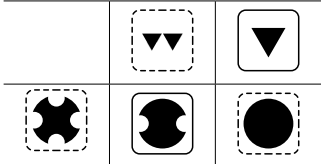
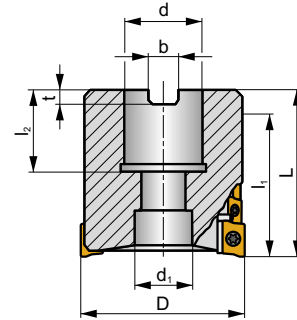
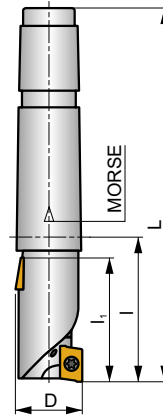
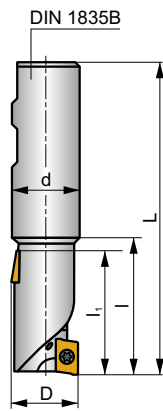
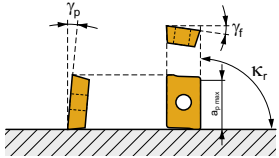


S

FORCE AD



K_r	90°
a_{pmax}	37,0 - 56,0 mm



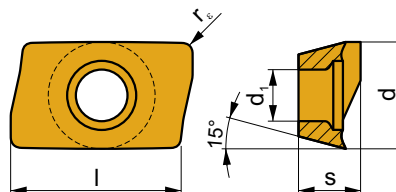
ISO	D	L	d	d ₁	l	l ₁	l ₂	Morse	γ_f°	γ_p°								
25J2R50B25-SAD11E38-C	25	106,0	25	-	50	38	-	-	-10,5	+5	2	8	-	24100	✓	0,32	G1184	SQ210
25J2R55E03-SAD11E38-C	25	136,0	-	-	55	38	-	3	-10,5	+5	2	8	-	24100	✓	0,38	G1184	SQ210

G1184	ADMX 11T3..	ADEX 11T3..FA

SQ210	US 2506-T07P	1,2	M 2,5	6	-	-	Flag T07P	-
SQ903	US 2506-T07P	1,2	M 2,5	6	D-T07P/T09P	FG-15	-	HS 1030C

ADMX 11

	d	d ₁	l	s
11T3	6,530	2,90	11,00	3,97



i	ISO	Material	P	M	K	N	S	H	?	Drop	r _c	f _{min}	f _{max}	a _{p min}	a _{p max}		
																1	U
	ADMX 11T304SR-F	M9340	█	█			█		●	---	0,4	0,07	0,10	0,2	9,0		
		M8310	█	█	█		█		●	-	0,4	0,07	0,12	0,2	9,0		
		M8330	█	█	█	□	□			●	-	0,4	0,07	0,12	0,2	9,0	
		M8340	█	█	█		█			●	+/-	0,4	0,07	0,12	0,2	9,0	
		8215	█	█	█	█	█			●	-	0,4	0,07	0,12	0,2	9,0	
		8230	█	█	█	□	█			●	-	0,4	0,07	0,12	0,2	9,0	
		8240	█	█	█		█			●	-	0,4	0,07	0,12	0,2	9,0	
		M9340	█	█	█		█			●	---	0,8	0,07	0,10	0,2	9,0	
		M8330	█	█	█	□	□			●	-	0,8	0,07	0,12	0,2	9,0	
		M8340	█	█	█		█			●	+/-	0,8	0,07	0,12	0,2	9,0	
	ADMX 11T308SR-F	8215	█	█	█	█	█		●	-	0,8	0,07	0,12	0,2	9,0		
		8230	█	█	█	□	█		●	-	0,8	0,07	0,12	0,2	9,0		
		8240	█	█	█		█		●	-	0,8	0,07	0,12	0,2	9,0		
		M9340	█	█	█		█		●	---	0,8	0,07	0,10	0,2	9,0		
		M8330	█	█	█	□	□		●	-	0,8	0,07	0,12	0,2	9,0		
		M8340	█	█	█		█		●	+/-	0,8	0,07	0,12	0,2	9,0		
		8215	█	█	█	█	█		●	-	0,8	0,07	0,12	0,2	9,0		
		8230	█	█	█	□	█		●	-	0,8	0,07	0,12	0,2	9,0		
		8240	█	█	█		█		●	-	0,8	0,07	0,12	0,2	9,0		
			ADMX 11T302SR-M	M8330	█	█	█		□		●	-	0,2	0,10	0,14	0,2	9,0
M8340	█			█	█		█		●	+/-	0,2	0,10	0,14	0,2	9,0		
8230	█			█	█		█		●	-	0,2	0,10	0,14	0,2	9,0		
	ADMX 11T304SR-M			M9325	█	█			█		●	---	0,4	0,10	0,14	0,2	9,0
				M9340	█	█			█		●	---	0,4	0,10	0,14	0,2	9,0
				M8310	█	█	█		█		●	-	0,4	0,10	0,18	0,2	9,0
				M8330	█	█	█		□		●	-	0,4	0,10	0,18	0,2	9,0
				M8340	█	█	█		█		●	+/-	0,4	0,10	0,18	0,2	9,0
				8215	█	█	█		█		●	-	0,4	0,10	0,18	0,2	9,0
				8230	█	█	█		█		●	-	0,4	0,10	0,18	0,2	9,0
		8240	█	█	█		█		●	-	0,4	0,10	0,18	0,2	9,0		
			ADMX 11T308SR-M	M5315	█						●	---	0,8	0,10	0,14	0,2	9,0
				M9315	█		█				●	---	0,8	0,10	0,14	0,2	9,0
M9325	█			█			█		●	---	0,8	0,10	0,14	0,2	9,0		
M9340	█			█			█		●	---	0,8	0,10	0,14	0,2	9,0		
M8310	█			█	█		█		●	-	0,8	0,10	0,18	0,2	9,0		
M8330	█			█	█		□		●	-	0,8	0,10	0,18	0,2	9,0		
M8340	█			█	█		█		●	+/-	0,8	0,10	0,18	0,2	9,0		
8215	█			█	█		█		●	-	0,8	0,10	0,18	0,2	9,0		
8230	█			█	█		█		●	-	0,8	0,10	0,18	0,2	9,0		
8240	█			█	█		█		●	-	0,8	0,10	0,18	0,2	9,0		
	ADMX 11T310SR-M	M8330	█	█	█		□		✘	-	1,0	0,10	0,22	0,2	9,0		
		M8340	█	█	█		█		✘	+/-	1,0	0,10	0,22	0,2	9,0		
		8230	█	█	█		█		●	-	1,0	0,10	0,22	0,2	9,0		
	ADMX 11T312SR-M	M8330	█	█	█		□		✘	-	1,2	0,10	0,22	0,2	9,0		
		M8340	█	█	█		█		✘	+/-	1,2	0,10	0,22	0,2	9,0		
		8215	█	█	█		█		●	-	1,2	0,10	0,22	0,2	9,0		
		8230	█	█	█		█		●	-	1,2	0,10	0,22	0,2	9,0		
	ADMX 11T316SR-M	M6330	█	█			█		✘	-	1,6	0,10	0,22	0,2	9,0		
		M8310	█	█	█		█		●	-	1,6	0,10	0,22	0,2	9,0		
		M8330	█	█	█		□		✘	-	1,6	0,10	0,22	0,2	9,0		
		M8340	█	█	█		█		✘	+/-	1,6	0,10	0,22	0,2	9,0		
		8215	█	█	█		█		●	-	1,6	0,10	0,22	0,2	9,0		
		8230	█	█	█		█		✘	-	1,6	0,10	0,22	0,2	9,0		
8240	█	█	█		█		✘	-	1,6	0,10	0,22	0,2	9,0				

i	ISO	Material	P	M	K	N	S	H	?	Water	r_{ϵ}	f_{min}	f_{max}	$a_{p, min}$	$a_{p, max}$	
	ADMX 11T320SR-M	M6330	█	█	█	█	█	█	✘	-	2,0	0,10	0,22	0,2	9,0	
		M8330	█	█	█	█	█	█	✘	-	2,0	0,10	0,22	0,2	9,0	
		M8340	█	█	█	█	█	█	█	✘	+/-	2,0	0,10	0,22	0,2	9,0
		8230	█	█	█	█	█	█	█	✘	-	2,0	0,10	0,22	0,2	9,0
	ADMX 11T325SR-M	M6330	█	█	█	█	█	█	█	✘	-	2,5	0,10	0,22	0,2	9,0
		M8330	█	█	█	█	█	█	█	✘	-	2,5	0,10	0,22	0,2	9,0
		M8340	█	█	█	█	█	█	█	✘	+/-	2,5	0,10	0,22	0,2	9,0
		8230	█	█	█	█	█	█	█	✘	-	2,5	0,10	0,22	0,2	9,0
	ADMX 11T330SR-M	M6330	█	█	█	█	█	█	█	✘	-	3,0	0,10	0,22	0,2	9,0
		M8330	█	█	█	█	█	█	█	✘	-	3,0	0,10	0,22	0,2	9,0
		M8340	█	█	█	█	█	█	█	✘	+/-	3,0	0,10	0,22	0,2	9,0
		8230	█	█	█	█	█	█	█	✘	-	3,0	0,10	0,22	0,2	9,0
	ADMX 11T308PR-R	M5315	█	█	█	█	█	█	●	---	0,8	0,15	0,20	0,8	9,0	
		M9315	█	█	█	█	█	█	█	●	---	0,8	0,15	0,20	0,8	9,0
		M9325	█	█	█	█	█	█	█	✘	---	0,8	0,15	0,20	0,8	9,0
		M8310	█	█	█	█	█	█	█	✘	-	0,8	0,15	0,25	0,8	9,0
	ADMX 11T316PR-R	M8330	█	█	█	█	█	█	█	✘	-	0,8	0,15	0,25	0,8	9,0
		M8340	█	█	█	█	█	█	█	✘	+/-	0,8	0,15	0,25	0,8	9,0
		8215	█	█	█	█	█	█	█	✘	-	0,8	0,15	0,25	0,8	9,0
		8230	█	█	█	█	█	█	█	✘	-	0,8	0,15	0,25	0,8	9,0
	ADMX 11T316PR-R	8240	█	█	█	█	█	█	█	✘	-	0,8	0,15	0,25	0,8	9,0
		M9325	█	█	█	█	█	█	█	✘	---	1,6	0,15	0,20	0,8	9,0
		M8330	█	█	█	█	█	█	█	✘	-	1,6	0,15	0,25	0,8	9,0
		M8340	█	█	█	█	█	█	█	✘	+/-	1,6	0,15	0,25	0,8	9,0
ADMX 11T304SR-MF	8215	█	█	█	█	█	█	█	✘	-	1,6	0,15	0,25	0,8	9,0	
	8230	█	█	█	█	█	█	█	✘	-	1,6	0,15	0,25	0,8	9,0	
	M9340	█	█	█	█	█	█	█	●	---	0,4	0,05	0,12	0,2	9,0	
	M6330	█	█	█	█	█	█	█	●	-	0,4	0,05	0,14	0,2	9,0	
ADMX 11T308SR-MF	M8340	█	█	█	█	█	█	█	●	+/-	0,4	0,05	0,14	0,2	9,0	
	M9340	█	█	█	█	█	█	█	●	---	0,8	0,05	0,12	0,2	9,0	
	M6330	█	█	█	█	█	█	█	●	-	0,8	0,05	0,14	0,2	9,0	
	M8340	█	█	█	█	█	█	█	●	+/-	0,8	0,05	0,14	0,2	9,0	
	ADMX 11T304SR-MM	M9340	█	█	█	█	█	█	●	---	0,4	0,10	0,15	0,2	9,0	
		M6330	█	█	█	█	█	█	█	●	-	0,4	0,10	0,18	0,2	9,0
		M8340	█	█	█	█	█	█	█	●	+/-	0,4	0,10	0,18	0,2	9,0
	ADMX 11T308SR-MM	M9340	█	█	█	█	█	█	█	●	---	0,8	0,10	0,15	0,2	9,0
		M6330	█	█	█	█	█	█	█	●	-	0,8	0,10	0,18	0,2	9,0
		M8340	█	█	█	█	█	█	█	●	+/-	0,8	0,10	0,18	0,2	9,0
	ADMX 11T312SR-MM	M8345	█	█	█	█	█	█	█	●	+/-	0,8	0,10	0,18	0,2	9,0
		M9340	█	█	█	█	█	█	█	●	---	1,2	0,10	0,15	0,2	9,0
		M6330	█	█	█	█	█	█	█	●	-	1,2	0,10	0,18	0,2	9,0
	ADMX 11T312SR-MM	M8340	█	█	█	█	█	█	█	●	+/-	1,2	0,10	0,18	0,2	9,0
		M8345	█	█	█	█	█	█	█	●	+/-	1,2	0,10	0,18	0,2	9,0

ISO	f_{min}	f_{max}	M5315	M9315	M9325	M9340	M6330	M8310	M8340	M8345	8215	8230	8240	
P	●	0,07	0,18	261	261	231	207	177	219	189	150	207	198	168
	●	0,07	0,15	243	237	204	186	159	198	168	132	183	177	153
	✘	0,07	0,10	222	216	180	165	138	177	147	117	162	153	135
M	●	0,07	0,18	-	-	117	123	126	111	111	90	123	117	102
	●	0,07	0,15	-	-	105	111	111	99	99	78	111	105	90
	✘	0,07	0,10	-	-	90	99	96	90	87	69	96	93	81
K	●	0,07	0,18	249	249	-	-	-	207	180	-	195	189	162
	●	0,07	0,15	231	225	-	-	-	189	159	-	174	168	144
	✘	0,07	0,10	213	204	-	-	-	168	138	-	153	147	129



$\frac{a_e}{D}$	0,05	0,10	0,15	0,20	0,25	0,30	0,40	0,50	0,60	0,70	0,75	0,80	0,90	1,00
	1,48	1,35	1,27	1,22	1,19	1,16	1,11	1,08	1,05	1,03	1,00	1,00	1,00	1,00
	2,87	2,05	1,69	1,48	1,33	1,23	1,09	0,75	0,94	0,90	0,89	0,88	0,88	1,00
	0,64	0,64	0,64	0,64	0,64	0,65	0,65	0,67	0,68	0,71	0,72	0,74	0,79	1,00

	ADMX 11-F		ADMX 11-M									ADMX 11-R		ADMX 11-MF	
r_ϵ	0,4	0,8	0,2	0,4	0,8	1,0	1,2	1,6	2,0	2,5	3,0	0,8	1,6	0,4	0,8
$\frac{a}{\dots}$	1,89	1,48	2,09	1,89	1,48	1,27	1,08	0,68	1,61	1,13	0,66	1,48	0,68	1,89	1,48

	ADMX 11-MM		
r_ϵ	0,4	0,8	1,2
$\frac{a}{\dots}$	1,89	1,48	1,08




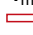



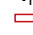















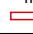




ISO				
25J2R50B25-SAD11E38-C	25	2	38	34,5
32J2R60B32-SAD11E47-C	32	2	47	43,5
40J2R60B40-SAD11E47-C	40	2	47	43,5
40J3R70B32-SAD11E56-C	40	3	56	52,5
40J3R70B40-SAD11E56-C	40	3	56	52,5
25J2R55E03-SAD11E38-C	25	2	38	34,5
32J2R65E04-SAD11E47-C	32	2	47	43,5
40J3R75E04-SAD11E56-C	40	3	56	52,5
50T03R-S90AD11E37-C	50	3	37	33,5



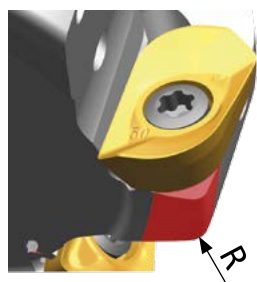
	4,5
--	-----



	1		2,5		5		7,5		10		15		20	
	f_{\min} 	f_{\max} 	f_{\min} 	f_{\max} 	f_{\min} 	f_{\max} 	f_{\min} 	f_{\max} 	f_{\min} 	f_{\max} 	f_{\min} 	f_{\max} 	f_{\min} 	f_{\max} 
25	0,25	0,40	0,16	0,26	0,12	0,19	0,10	0,15	0,09	0,14	0,07	0,12	0,07	0,11
32	0,28	0,45	0,18	0,29	0,13	0,21	0,11	0,17	0,09	0,15	0,08	0,13	0,07	0,12
40	0,32	0,51	0,20	0,32	0,14	0,23	0,12	0,19	0,10	0,17	0,09	0,14	0,08	0,13
50	0,35	0,57	0,23	0,36	0,16	0,26	0,13	0,21	0,12	0,19	0,10	0,15	0,09	0,14

	25		32		40		50	
	f_{\min} 	f_{\max} 	f_{\min} 	f_{\max} 	f_{\min} 	f_{\max} 	f_{\min} 	f_{\max} 
25	0,08	0,13	-	-	-	-	-	-
32	0,07	0,11	0,08	0,13	-	-	-	-
40	0,07	0,12	0,07	0,11	0,08	0,13	-	-
50	0,08	0,13	0,07	0,12	0,07	0,11	0,08	0,13

i



ADMX/ADEX 11	R
ADMX 11T320SR-M	1,0
ADMX 11T325SR-M	1,8
ADMX 11T330SR-M	1,8

SAD16E

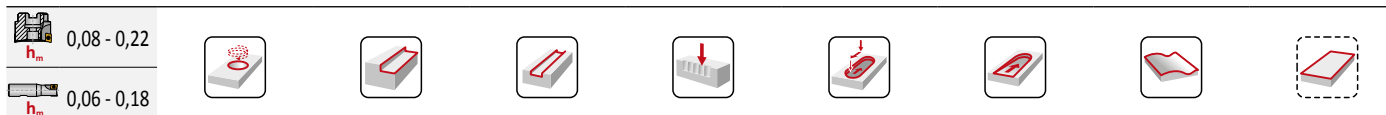
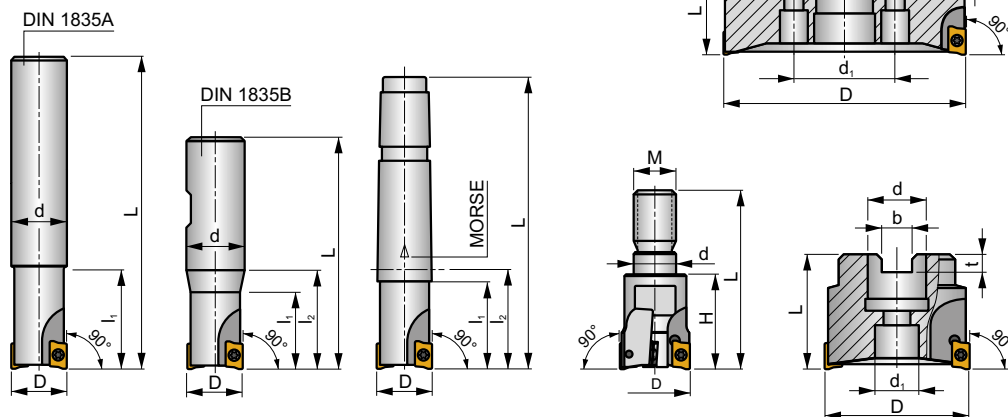
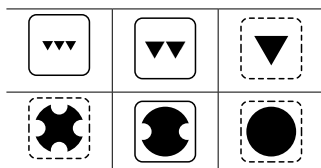
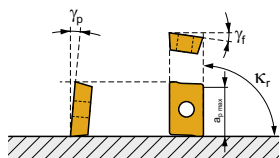
P M K N S H

S

FORCE AD



K_r	90°
a_{pmax}	13,0 mm

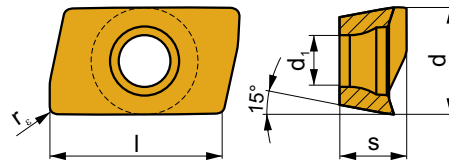


ISO	D	L	d	d ₁	l ₁	l ₂	H	M	γ_f°	γ_p°	Morse					kg				
25A2R033A25-SAD16E-C	25	165	25	-	33	-	-	-	-13	+5	-	2	-	18700	✓	0,52	GI165	SQ030	-	-
25A2R038A25-SAD16E-C	25	200	25	-	38	-	-	-	-13	+5	-	2	-	18700	✓	0,71	GI165	SQ030	-	-
32A3R033A32-SAD16E-C	32	195	32	-	33	-	-	-	-12	+7	-	3	-	16500	✓	1,03	GI165	SQ030	-	-
32A3R048A32-SAD16E-C	32	250	32	-	48	-	-	-	-12	+7	-	3	-	16500	✓	1,37	GI165	SQ030	-	-
25A2R042B25-SAD16E-C	25	98	25	-	42	-	-	-	-13	+5	-	2	-	18700	✓	0,29	GI165	SQ030	-	-
32A3R040B32-SAD16E-C	32	100	32	-	40	-	-	-	-12	+7	-	3	-	16500	✓	0,59	GI165	SQ030	-	-
40A3R050B32-SAD16E-C	40	110	32	-	50	-	-	-	-8,2	+10,5	-	3	-	14800	✓	0,59	GI165	SQ030	-	-
40A4R050B32-SAD16E-C	40	110	32	-	50	-	-	-	-8,2	+10,5	-	4	-	14800	✓	0,65	GI165	SQ030	-	-
25A2R043E03-SAD16E-C	25	98	-	-	38	43	-	-	-13	+5	3	2	-	18600	✓	0,31	GI165	SQ030	-	-
32A3R043E03-SAD16E-C	32	100	-	-	38	43	-	-	-12	+7	3	3	-	16500	✓	0,33	GI165	SQ030	-	-
40A4R054E04-SAD16E-C	40	110	-	-	48	54	-	-	-8,2	+10,5	4	4	-	14700	✓	0,70	GI165	SQ030	-	-
32A3R043M16-SAD16E-C	32	66	17	-	-	-	43	M16	-12	+7	-	3	-	-	✓	0,21	GI165	SQ030	-	-
40A4R043M16-SAD16E-C	40	66	17	-	-	-	43	M16	-8,2	+10,5	-	4	-	-	✓	0,27	GI165	SQ030	-	-
40A04R-S90AD16E-C	40	40	16	14	-	-	-	-	-8,2	+10,5	-	4	-	14700	✓	0,16	GI165	SQ032	-	-
50A03R-S90AD16E-C	50	40	22	18	-	-	-	-	-7	+11	-	3	-	13200	✓	0,43	GI165	SQ033	-	-
50A05R-S90AD16E-C	50	40	22	18	-	-	-	-	-7	+11	-	5	✓	13200	✓	0,59	GI165	SQ033	-	-
63A04R-S90AD16E-C	63	40	22	18	-	-	-	-	-6	+12	-	4	✓	11800	✓	0,62	GI165	SQ033	-	-
63A06R-S90AD16E-C	63	40	22	18	-	-	-	-	-6	+12	-	6	✓	11800	✓	0,46	GI165	SQ033	-	-
80A05R-S90AD16E-C	80	50	27	38	-	-	-	-	-5	+12	-	5	✓	10400	✓	1,01	GI165	SQ031	AC001	-
80A07R-S90AD16E-C	80	50	27	38	-	-	-	-	-5	+13	-	7	✓	10400	✓	0,97	GI165	SQ031	AC001	-
100A06R-S90AD16E-C	100	50	32	45	-	-	-	-	-4	+12	-	6	✓	9300	✓	1,89	GI165	SQ031	AC002	-
100A08R-S90AD16E-C	100	50	32	45	-	-	-	-	-4	+12	-	8	✓	9300	✓	1,69	GI165	SQ031	AC002	-
125A09R-S90AD16E-C	125	63	40	56	-	-	-	-	-3,8	+12	-	9	✓	8400	✓	3,46	GI165	SQ031	AC003	-
140A08R-S90AD16E-C	140	63	40	56	-	-	-	-	-3,8	+12	-	8	✓	7900	✓	4,06	GI165	SQ031	-	-
160C10R-S90AD16E-C	160	63	40	66,7	-	-	-	-	-3,8	+10	-	10	✓	7300	✓	6,04	GI165	SQ036	-	-
175C10R-S90AD16E-C	175	63	40	66,7	-	-	-	-	-3,8	+12	-	10	✓	7000	✓	7,00	GI165	SQ036	-	-

		ISO		P	M	K	N	S	H			r_c	f_{min}	f_{max}	$a_{p min}$	$a_{p max}$
 		ADMX 160616SR-M	8215	■	■	■		■		●	-	1,6	0,10	0,30	0,3	13,0
		8230	■	■	■		■		●	-	1,6	0,10	0,30	0,3	13,0	
		ADMX 160620SR-M	M6330	■	■			■		●	-	2,0	0,10	0,30	0,3	13,0
		M8330	■	■	■		□		●	-	2,0	0,10	0,30	0,3	13,0	
		M8340	■	■	■		■		●	+/-	2,0	0,10	0,30	0,3	13,0	
		ADMX 160630SR-M	M8330	■	■	■		□		●	-	3,0	0,10	0,30	0,3	13,0
 		ADMX 160632SR-M	M9325	■	■			■		●	---	3,2	0,10	0,24	0,3	13,0
		M6330	■	■			■		●	-	3,2	0,10	0,30	0,3	13,0	
		M8330	■	■	■		□		●	-	3,2	0,10	0,30	0,3	13,0	
		M8340	■	■	■		■		●	+/-	3,2	0,10	0,30	0,3	13,0	
		8230	■	■	■		■		●	-	3,2	0,10	0,30	0,3	13,0	
		ADMX 160640SR-M	M6330	■	■			■		●	-	4,0	0,10	0,30	0,3	13,0
		M8330	■	■	■		□		●	-	4,0	0,10	0,30	0,3	13,0	
		M8340	■	■	■		■		●	+/-	4,0	0,10	0,30	0,3	13,0	
		ADMX 160650SR-M	M8330	■	■	■		□		●	-	5,0	0,10	0,30	0,3	13,0
		M8340	■	■	■		■		●	+/-	5,0	0,10	0,30	0,3	13,0	
 		ADMX 160608PR-R	M5315			■				●	---	0,8	0,17	0,28	1,0	13,0
		M9315	■		■			■		●	---	0,8	0,17	0,28	1,0	13,0
		M9325	■	■			■		●	---	0,8	0,17	0,28	1,0	13,0	
		M8310	■	■	■		■	■	●	-	0,8	0,17	0,35	1,0	13,0	
		M8330	■	■	■		□	■	●	-	0,8	0,17	0,35	1,0	13,0	
		M8340	■	■	■		■		●	+/-	0,8	0,17	0,35	1,0	13,0	
		8215	■	■	■		□	■	●	-	0,8	0,17	0,35	1,0	13,0	
		8230	■	■	■		■	□	●	-	0,8	0,17	0,35	1,0	13,0	
		ADMX 160616PR-R	M9325	■	■			■		●	---	1,6	0,17	0,28	1,0	13,0
		M8330	■	■	■		□	■	●	-	1,6	0,17	0,35	1,0	13,0	
		M8340	■	■	■		■		●	+/-	1,6	0,17	0,35	1,0	13,0	
		 		ADMX 160608SR-MF	M9340	■	■			■		●	---	0,8	0,05	0,14
M6330	■			■			■		●	-	0,8	0,05	0,16	0,3	13,0	
M8340	■			■			■		●	+/-	0,8	0,05	0,16	0,3	13,0	
ADMX 160604SR-MM	M9340			■	■			■		●	---	0,4	0,14	0,19	0,3	13,0
 		M6330	■	■			■		●	-	0,4	0,14	0,22	0,3	13,0	
		M8340	■	■			■		●	+/-	0,4	0,14	0,22	0,3	13,0	
		ADMX 160608SR-MM	M9340	■	■			■		●	---	0,8	0,14	0,19	0,3	13,0
		M6330	■	■			■		●	-	0,8	0,14	0,22	0,3	13,0	
		M8340	■	■			■		●	+/-	0,8	0,14	0,22	0,3	13,0	
		M8345	■	■			■		●	+/-	0,8	0,14	0,22	0,3	13,0	
		ADMX 160616SR-MM	M9340	■	■			■		●	---	1,6	0,14	0,19	0,3	13,0
		M6330	■	■			■		●	-	1,6	0,14	0,22	0,3	13,0	
M8340	■	■			■		●	+/-	1,6	0,14	0,22	0,3	13,0			
M8345	■	■			■		●	+/-	1,6	0,14	0,22	0,3	13,0			

ADEX 16

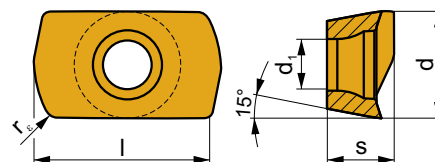
	d	d ₁	l	s
1606	9,950	4,50	16,00	6,25



i	ISO	Material	P	M	K	N	S	H	Chip	Fluid	r _ε	f _{min}	f _{max}	a _{p min}	a _{p max}
	ADEX 160608SR-FM	M8310	■	▣	■		▣		●	-	0,8	0,10	0,25	0,3	13,0
		M8330	■	▣	■		□		●	-	0,8	0,10	0,25	0,3	13,0
		M8340	■	▣	▣		▣		●	+/-	0,8	0,10	0,25	0,3	13,0
		8215	■	▣	■		▣		●	-	0,8	0,10	0,25	0,3	13,0

ADEX 16-HF

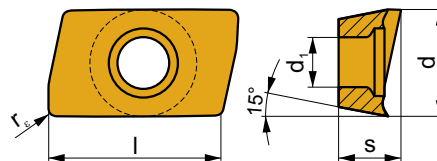
	d	d ₁	l	s
1606	9,950	4,50	16,00	5,88



i	ISO	Material	P	M	K	N	S	H	Chip	Fluid	r _ε	f _{min}	f _{max}	a _{p min}	a _{p max}
	ADEX 160612SR-HF	M9340	▣	■			▣		●	---	1,2	0,60	1,11	0,3	1,3
		M8310	■	▣	□		▣	□	●	-	1,2	0,60	1,30	0,3	1,3
		M8330	■	▣	□		□	□	●	-	1,2	0,60	1,30	0,3	1,3
		M8340	■	▣	□		▣		●	+/-	1,2	0,60	1,30	0,3	1,3
		8215	■	▣	□		▣	□	●	-	1,2	0,60	1,30	0,3	1,3
		8230	■	▣	□		▣	□	●	-	1,2	0,60	1,30	0,3	1,3
	ADEX 160612SR-HF2	M9325	■	▣			□		●	---	1,2	0,60	1,17	0,3	1,3
		M9340	▣	▣			□		●	---	1,2	0,60	1,17	0,3	1,3
		M8310	■	▣	■		□	■	●	-	1,2	0,60	1,30	0,3	1,3
		M8330	■	▣	■		□	▣	✘	-	1,2	0,60	1,30	0,3	1,3
		M8340	■	▣	▣		□		✘	+/-	1,2	0,60	1,30	0,3	1,3

ADEX 16-FA

	d	d ₁	l	s
1606	9,950	4,50	16,00	6,17



i	ISO	Material	P	M	K	N	S	H	Chip	Coolant	r _e	f _{min}	f _{max}	a _{p min}	a _{p max}
	ADEX 160604FR-FA	M0315				■			●	++	0,4	0,05	0,35	0,3	13,0
		HF7				■			●	+/-	0,4	0,05	0,35	0,3	13,0
	ADEX 160608FR-FA	M0315				■			●	++	0,8	0,05	0,35	0,3	13,0
		HF7				■			●	+/-	0,8	0,05	0,35	0,3	13,0
	ADEX 160616FR-FA	HF7				■			●	+/-	1,6	0,05	0,35	0,3	13,0
	ADEX 160630FR-FA	HF7				■			●	+/-	3,0	0,05	0,35	0,3	13,0

ISO	f _{min}	f _{max}	M5315	M9315	M9325	M9340	M0315	M6330	M8310	M8340	M8345	8215	8230	8240	HF7	
P	●	0,10	0,30	435	435	385	345	-	295	365	315	250	345	330	280	-
	●	0,10	0,25	405	395	340	310	-	265	330	280	220	305	295	255	-
	✘	0,10	0,15	370	360	300	275	-	230	295	245	195	270	255	225	-
M	●	0,10	0,25	-	-	195	205	-	210	185	185	150	205	195	170	80
	●	0,10	0,20	-	-	175	185	-	185	165	165	130	185	175	150	70
	✘	0,10	0,12	-	-	150	165	-	160	150	145	115	160	155	135	60
K	●	0,10	0,30	415	415	-	-	-	-	345	300	-	325	315	270	130
	●	0,10	0,25	385	375	-	-	-	-	315	265	-	290	280	240	115
	✘	0,10	0,15	355	340	-	-	-	-	280	230	-	255	245	215	100
N	●	0,10	0,30	-	-	-	-	760	-	-	-	-	860	830	-	340
	●	0,10	0,25	-	-	-	-	680	-	-	-	-	770	740	-	305
	✘	0,10	0,15	-	-	-	-	595	-	-	-	-	680	645	-	265
S	●	0,10	0,25	-	-	95	100	-	105	90	90	75	100	95	85	40
	●	0,10	0,20	-	-	85	90	-	90	80	80	65	90	85	75	35
	✘	0,10	0,12	-	-	75	80	-	80	75	70	55	80	75	65	30
H	●	0,10	0,25	85	85	-	-	-	-	70	-	-	65	65	-	25
	●	0,10	0,20	80	75	-	-	-	-	65	-	-	60	55	-	20
	✘	0,10	0,12	70	70	-	-	-	-	55	-	-	50	50	-	20

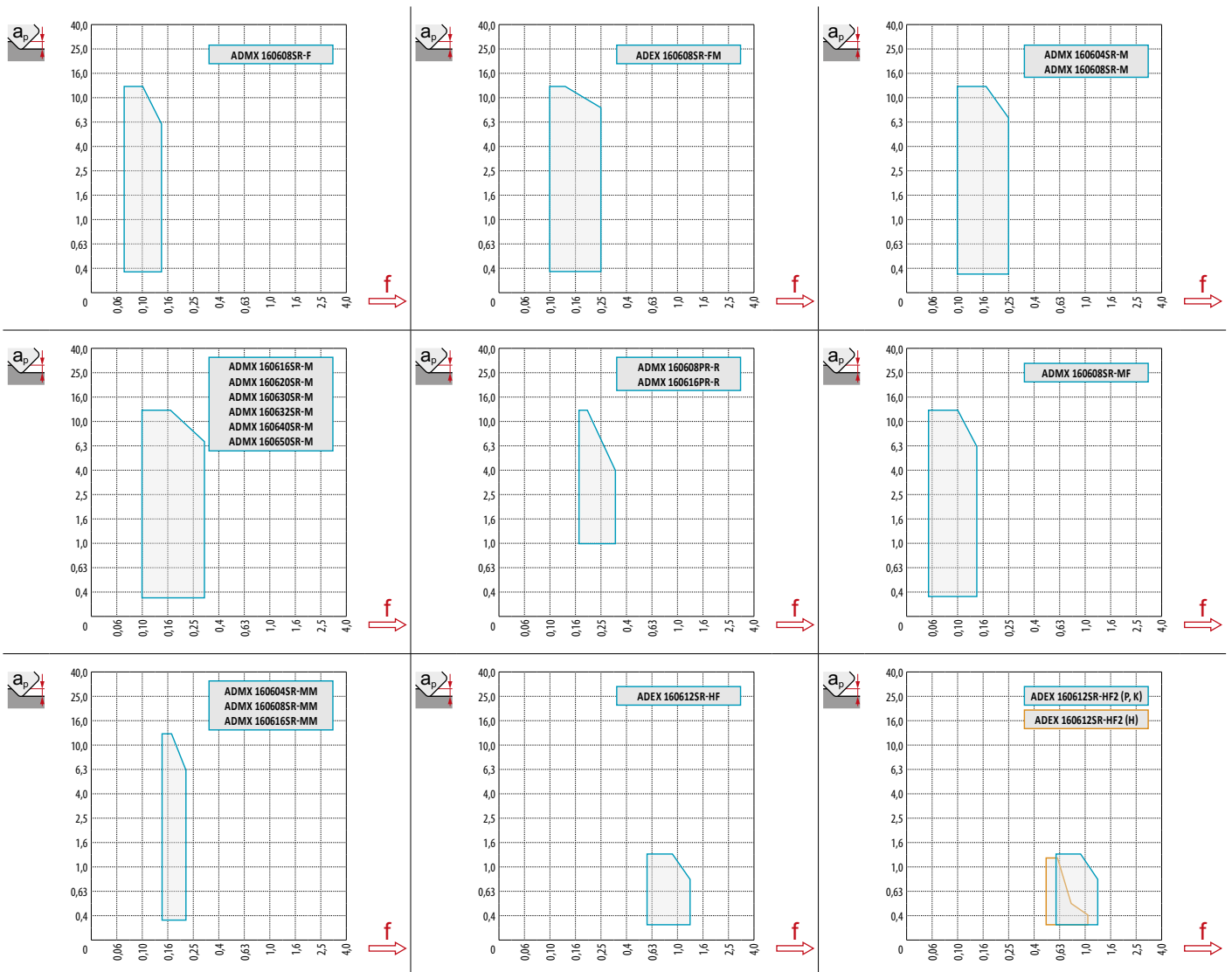
HFC		f_{\min}	f_{\max}	M9325	M9340	M8310	M8340	8215	8230
P	●	0,55	1,25	327	293	310	268	293	281
	●	0,55	1,00	289	264	281	238	259	251
	✖	0,55	0,80	255	234	251	208	230	217
M	●	0,55	1,25	166	174	157	157	174	166
	●	0,55	1,00	149	157	140	140	157	149
	✖	0,55	0,80	128	140	128	123	136	132
K	●	0,55	1,25	-	-	293	255	276	268
	●	0,55	1,00	-	-	268	225	247	238
	✖	0,55	0,80	-	-	238	196	217	208
N	●	0,55	1,25	-	-	-	-	731	706
	●	0,55	1,00	-	-	-	-	655	629
	✖	0,55	0,80	-	-	-	-	578	548
S	●	0,55	1,20	81	85	77	77	85	81
	●	0,55	1,00	72	77	68	68	77	72
	✖	0,55	0,80	64	68	64	60	68	64
H	●	0,50	1,00	-	-	60	-	55	55
	●	0,50	0,80	-	-	55	-	51	47
	✖	0,50	0,60	-	-	47	-	43	43

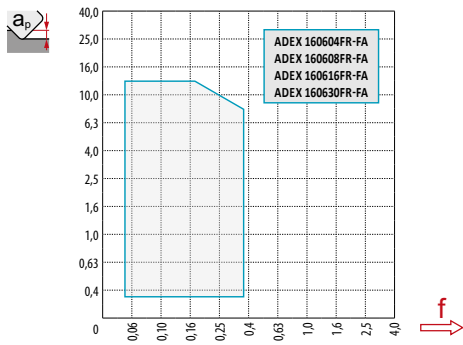


a_e/D	0,05	0,10	0,15	0,20	0,25	0,30	0,40	0,50	0,60	0,70	0,75	0,80	0,90	1,00
	1,48	1,35	1,27	1,22	1,19	1,16	1,11	1,08	1,05	1,03	1,00	1,00	1,00	1,00
	2,87	2,05	1,69	1,48	1,33	1,23	1,09	0,75	0,94	0,90	0,89	0,88	0,88	1,00
	0,64	0,64	0,64	0,64	0,64	0,65	0,65	0,67	0,68	0,71	0,72	0,74	0,79	1,00

	ADMX 16-F	ADEX 16-FM	ADMX 16-M								ADMX 16-R	
r_ϵ	0,8	0,8	0,4	0,8	1,6	2,0	3,0	3,2	4,0	5,0	0,8	1,6
a	2,99	2,18	3,39	2,99	1,62	1,23	0,28	0,09	2,69	1,52	2,99	1,62

	ADMX 16-MF	ADMX 16-MM		ADEX 16-HF	ADEX 16-HF2	ADEX 16-FA				
r_ϵ	0,8	0,4	0,8	1,6	1,2	1,2	0,4	0,8	1,6	3,0
a	2,99	3,39	2,99	1,62	0,52	0,52	2,84	2,44	1,65	0,69





7,5



	1,0	6,0	13,0
	0,28	0,19	0,10



ISO



ISO	D			a_p
50J3R100H50-SAD16E54-C	50	3	54	50,5
50J3R140H50-SAD16E80-C	50	3	80	76,5
63J3R140H50-SAD16E68-C	63	3	68	64,5
63J3R155H50-SAD16E95-C	63	3	95	91,5
80J4R165H50-SAD16E108-C	80	4	108	104,5
<hr/>				
50J3R140G50-SAD16E80-C	50	3	80	76,5
63J3R155G50-SAD16E95-C	63	3	95	91,5
80J4R165G50-SAD16E108-C	80	4	108	104,5
<hr/>				
50J3R140X50-SAD16E68-C	50	3	68	64,5
63J3R155X50-SAD16E80-C	63	3	80	76,5
80J4R165X50-SAD16E95-C	80	4	95	91,5
<hr/>				
50T03R-S90AD16E40-C	50	3	40	36,5
63T04R-S90AD16E40-C	63	4	40	36,5
63T04R-S90AD16E68-C	63	4	68	64,5
80T04R-S90AD16E55-C	80	4	55	51,5
80T04R-S90AD16E80-C	80	4	80	76,5
100T05R-S90AD16E80-C	100	5	80	76,5



HFC

D	α_{max}°	a_p/l	α_{max}°	α_{max}°	a_p/l
25	12,5	13,0/60	4,0	8,0	1,3/19
32	7,5	13,0/100	2,0	7,5	1,3/38
40	5,0	8,6/100	1,2	4,5	1,3/65
50	3,5	6,0/100	0,8	3,0	1,3/100
63	2,5	4,2/100	0,5	2,0	0,8/100
80	2,0	3,3/100	0,4	1,5	0,6/100



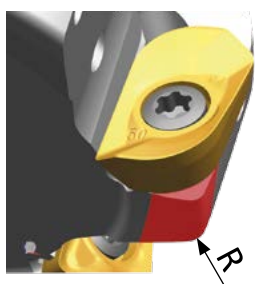
$\varnothing D$	d_{min}	d_{max}	S_{max} d_{min}	S_{max} d_{max}	HFC			
					d_{min}	d_{max}	S_{max} d_{min}	S_{max} d_{max}
25	42,0	50,0	10,0	12,5	42,0	50,0	1,3	1,3
32	55,0	64,0	6,5	9,0	55,0	64,0	1,3	1,3
40	72,0	80,0	5,0	8,0	72,0	80,0	1,3	1,3
50	92,0	100,0	4,5	6,0	92,0	100,0	1,3	1,3
63	118,0	126,0	4,0	5,0	118,0	126,0	1,3	1,3
80	136,0	160,0	1,5	2,0	136,0	160,0	1,3	1,3



$\varnothing D$	μm	3	5	10	15	20	30	40	50	60	80	100
25		0,548	0,707	1,000	1,225	1,414	1,732	2,000	2,236	2,449	2,828	3,162
32		0,620	0,800	1,131	1,386	1,600	1,960	2,263	2,530	2,771	3,200	3,578
40		0,693	0,894	1,265	1,549	1,789	2,191	2,530	2,828	3,098	3,578	4,000
50		0,775	1,000	1,414	1,732	2,000	2,449	2,828	3,162	3,464	4,000	4,472
63		0,869	1,122	1,587	1,944	2,245	2,750	3,175	3,550	3,888	4,490	5,020
80		0,980	1,265	1,789	2,191	2,530	3,098	3,578	4,000	4,382	5,060	5,657

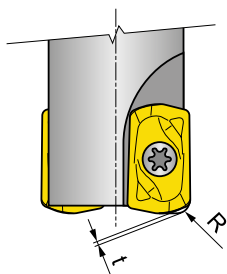
r_ϵ	μm	3	5	10	15	20	30	40	50	60	80	100
1,6		0,196	0,253	0,358	0,438	0,506	0,620	0,716	0,800	0,876	1,012	1,131
2,0		0,219	0,283	0,400	0,490	0,566	0,693	0,800	0,894	0,980	1,131	1,265
3,0		0,268	0,346	0,490	0,600	0,693	0,849	0,980	1,095	1,200	1,386	1,549
3,2		0,277	0,358	0,506	0,620	0,716	0,876	1,012	1,131	1,239	1,431	1,600
4,0		0,310	0,400	0,566	0,693	0,800	0,980	1,131	1,265	1,386	1,600	1,789
5,0		0,346	0,447	0,632	0,775	0,894	1,095	1,265	1,414	1,549	1,789	2,000

i



ADMX/ADEX 16	R
ADMX 160630SR-M	2,5
ADMX 160632SR-M	2,5
ADMX 160640SR-M	4,0
ADMX 160650SR-M	4,5
ADEX 160612SR-HF	3,0
ADEX 160612SR-HF2	3,0

i



ADEX 16	R	t
	[mm]	[mm]
ADEX 160612SR-HF	2,59	0,56
ADEX 160612SR-HF2	2,48	0,57